

# 面沟道粒子的正弦平方势及其带电粒子的库马霍夫辐射

罗诗裕 邵明珠

(中国科学院近代物理所)

**提要:** 提出一种新的正弦平方势来描写面沟道粒子运动行为, 并将粒子运动方程化为熟知的摆方程, 用 Jacobi 椭圆函数和第一类全椭圆积分严格求解了运动方程和振动周期, 讨论了库马霍夫辐射的强度和光谱特征。结果表明, 这一辐射颇有希望作为新的  $r$ -光源。

## Sine-squared potential for planar channeling particles and Kumakhov radiation for charged particles

Luo Shiyu, Shao Mingzhu

(Institute of Modern Physics, Academia Sinica)

**Abstract:** The new planar-continuum potential, the sine-squared potential, is introduced to analyse the behaviour of particle motion in a planar channel, and particle motion equation is written by the well known pendulum; particle motion equation and oscillation period are solved exactly by Jacobi elliptic functions and the first kind of complete elliptic integrals; radiation intensity and spectral characteristics of Kumakhov radiation are further analyzed; The results show that it is possible to take Kumakhov radiation as a new  $\gamma$ -ray laser.

### 一、引言

人们在研究带电粒子同物质相互作用的过程中, 曾发现了沟道效应和阻塞效应, 近年来又发现了一种新的效应——带电粒子的沟道辐射, 通常又称库马霍夫辐射 (Kumakhov radiation)<sup>[1,2]</sup>。

由电动力学可知, 任何一个作加速运动

的带电粒子, 都将自发地向周围空间辐射电磁波; 在晶体沟道中运动的带电粒子, 因其加速度不为零也会发射这种电磁辐射, 其中除了由于粒子减速运动而发射韧致辐射外, 值得注意的是因在沟道中的周期运动而发射的库马霍夫辐射。库马霍夫辐射是由于带电粒子在沟道中的横向运动引起的, 对于 10 兆电子伏的正电子, 库马霍夫辐射的能量可达千

收稿日期: 1982年5月10日。

电子伏量级,在超相对论情况下,辐射能量还更高。

目前人们最感兴趣的一个问题是企图利用这种辐射作为新的光源( $r$ -激光<sup>[3,4]</sup>),这种光源的第一个特点是频率可调,只需适当调节入射粒子的能量,或初始条件即可实现。带电粒子的面沟道辐射是线偏振的;辐射的方向性极好,且大多集中在沿运动方向、角宽  $\Delta\theta \sim r^{-1}$  的狭窄范围内。

晶体沟道有轴沟道和面沟道两种,电子在轴沟道中的运动是以晶轴为中心的螺旋运动,作这种运动的电子,不仅要发射沟道辐射、韧致辐射,而且还将发射同步辐射。本文只讨论带电粒子在面沟道中的库马霍夫辐射,并以正电子为例计算了这种辐射的辐射强度和光谱特征。常用的粒子-晶体相互作用势有 Lindhard 势和 Moliere 势,鉴于作用势的复杂性,粒子的运动方程是非线性的,通常都只能借助于数值方法求解。本文的目的是企图引入一种新的相互作用势——正弦平方势来代替 Lindhard 势或 Moliere 势,其特点是将粒子的运动方程化为熟知的摆方程,并用 Jacobi 椭圆函数和第一类全椭圆积分严格求解了这个方程和运动周期,同时,在此基础上,进一步解析地处理了库马霍夫辐射的辐射强度和光谱特征。

## 二、正弦平方势及其摆模型

经验表明,能否正确描述粒子的沟道行为与如何选择粒子-晶体相互作用势有关。常用的两种平面连续势有 Lindhard 势和 Moliere 势<sup>[5]</sup>,无量纲的 Lindhard 势具有如下形式

$$V(X) = KW_L(X) \quad (1a)$$

$$\begin{aligned} \text{其中 } W_L(X) = & [(1+X)^2 + 12D^{-2}]^{\frac{1}{2}} \\ & + [(1-X)^2 + 12D^{-2}]^{\frac{1}{2}} \\ & - 2(1 + 12D^{-2})^{\frac{1}{2}} \end{aligned} \quad (1b)$$

而无量纲的 Moliere 势则为

$$V(X) = KW_M(X) \quad (2a)$$

其中

$$\begin{aligned} W_M(X) = & \frac{0.2}{3D} e^{-3D} [ch(3XD) - 1] \\ & + \frac{1.1}{0.6D} e^{0.6D} [ch(0.6XD) - 1] \\ & + \frac{0.7}{0.15D} e^{0.15D} [ch(0.15XD) - 1] \end{aligned} \quad (2b)$$

$$X = 2x/d_p, \quad D = d_p/a_T, \quad K = \pi z_1 z_2 e^2 N d_p \quad (3)$$

$x$  是粒子偏离沟道中心平面的距离,  $d_p$  是晶面间距,  $a_T$  是托马斯-费米屏蔽距离,  $z_1, z_2$  是入射粒子和晶体的原子序数,  $e$  是电子电荷,  $N d_p$  是晶体原子的面密度。式(1)和(2)表明,归一化的相互作用势  $W(X)$  只与无量纲的晶面间距  $D$  有关。

考虑到带电粒子的库马霍夫辐射是粒子在沟道中的横向运动引起的,而粒子的横向速度又比纵向低得多,因此,粒子的横向运动行为可用经典方法处理。事实表明,在超相对论情况下,经典方法同量子力学方法符合得很好。本文就试图在经典力学的框架内,对粒子横向运动引起的库马霍夫辐射作一解析描述。

在经典范围内,由式(1)和(2)可得无量纲的横向运动方程

$$\frac{d^2 X}{ds^2} + \frac{1}{2} \epsilon^2 W'(X) = 0 \quad (4)$$

其中

$$\begin{aligned} W'(X) = & \frac{\partial W(X)}{\partial X}, \quad s = \frac{2v}{d_p} t, \\ \epsilon = & \left(\frac{K}{E}\right)^{1/2} \end{aligned} \quad (5)$$

而  $E$  是入射粒子的能量,  $v$  是它的纵向速度。

将方程(4)改写为

$$\left. \begin{aligned} \frac{dX}{ds} = \epsilon Y \\ \frac{dY}{ds} = -\frac{1}{2} \epsilon W'(X) \end{aligned} \right\} \quad (6)$$

$$\text{或} \quad \frac{dY}{dX} = -\frac{W'(X)}{Y} \quad (7)$$

分离变数, 完成一次积分可得

$$Y^2 + W(X) = e_{10} \quad (8)$$

其中

$$e_{10} = Y_0^2 + W(X_0) \quad (9)$$

是粒子的初始横向能量。式(8)给出了相平面( $X, Y$ )上的一簇积分曲线, 其形状如图1所示。

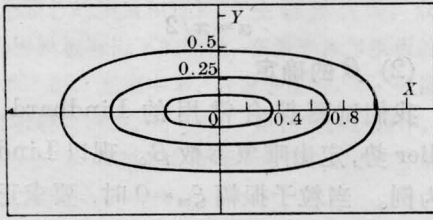


图1 系统的相平面特征

从物理考虑和方程(4)的非线性特征出发, 对式(1)、(2)和(8)进行分析, 发现Lindhard势和Moliere势似乎存在下面不足之处:

① 式(1)和(2)是发散的, 即当 $X \rightarrow \infty$ 时, 式(1)和(2)也趋无穷, 这是与实际情形不符合的; 为了避免这个困难, 他们只好人为地把势截断在 $X = \pm 1$ 处, 遗憾的是这又破坏了理论本身的完整性和统一性。

② 从式(7)可以看出, 在相平面上, 系统只有一个中心型奇点(即相平面原点(0,0)), 如图1所示; 由于系统不存在不稳定奇点, 围绕原点的所有轨道都是稳定的。这表明具有任意初值的入射粒子都应该是沟道粒子, 这也是与实际不符合的;

③ 由式(1)和(2)可知, 方程(4)是一个复杂的二阶非线性微分方程, 不存在严格解析解, 而数值解也十分复杂。

由于上述原因, 我们从唯象分析出发, 提出了一种新的相互作用势——正弦平方势来描写面沟道粒子的运动行为, 结果似乎确有可能希望的一系列特征。

我们从唯象考虑出发, 选择归一化的正

弦平方势 $W_s(X)$ 为

$$W_s(X) = \eta \sin^2 \alpha X \quad (10)$$

其中 $\alpha, \eta$ 是模型参数。将式(10)代入方程(4), 可得:

$$\frac{d^2 \xi}{ds^2} + \delta \sin \xi = 0 \quad (11)$$

其中

$$\xi = 2\alpha X, \quad \delta = \epsilon^2 \alpha^2 \eta_0. \quad (12)$$

方程(11)是熟知的摆方程。令

$$V_{\perp} = d\xi/ds \quad (13)$$

由方程(11)可得系统的积分曲线

$$V_{\perp}^2 = 2\delta \cos \xi + h \quad (14)$$

其中 $h$ 是与横向运动有关的能量常数。当粒子的无量纲振幅为 $\xi_m$ 时, 由能量守恒条件可得 $h = -2\delta \cos \xi_m$ , 于是式(14)化为

$$V_{\perp}^2 = 2\delta (\cos \xi - \cos \xi_m). \quad (15)$$

令

$$\sin \frac{\xi}{2} = \tau \sin \frac{\xi_m}{2}, \quad (16)$$

注意到 $\frac{d\xi}{ds} = V_{\perp}$ , 可将式(15)化为

$$\sqrt{\delta} s = \int_0^{\tau} \frac{d\tau}{\sqrt{1-\tau^2} \cdot \sqrt{1-k^2\tau^2}} = F(\tau, k) \quad (17)$$

其中

$$k^2 = \sin^2 \frac{\xi_m}{2} \quad (18)$$

是椭圆函数的模, 而 $F(\tau, k)$ 称为第一类椭圆积分。

根据椭圆函数的定义, 将式(17)中的 $\tau$ 用Jacobi椭圆函数表示为<sup>[6]</sup>

$$\tau = \text{sn}(\sqrt{\delta} s). \quad (19)$$

由式(16)、(19)和(12), 可将方程(11)的解表示为

$$X = \frac{1}{\alpha} \arcsin \left[ \sin \frac{\xi_m}{2} \text{sn}(\sqrt{\delta} s) \right], \quad (20)$$

而横向“速度”则为

$$V_{\perp} = \frac{dX}{ds} = \frac{K\sqrt{\delta}}{\alpha} \text{cn}(\sqrt{\delta} s). \quad (21)$$

式(20)和(21)完全确定了粒子的运动行为及系统的相平面特征, 如图2所示。

如果再令



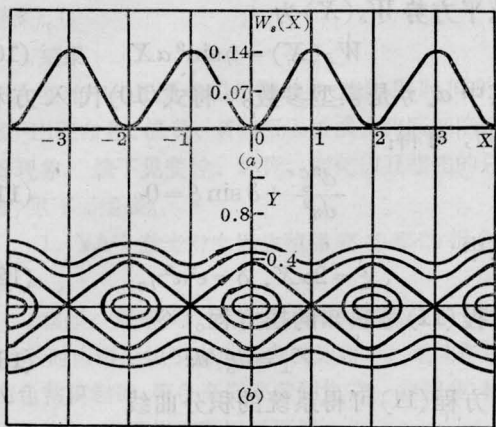


图 2

(a) 正弦平方势; (b) 系统的相平面特征

$$\tau = \sin \varphi \quad (22)$$

且当  $\varphi = \pi/2$  时, 由式(17)可得第一类全椭圆积分

$$K(k) = \int_0^{\pi/2} \frac{d\varphi}{\sqrt{1-k^2 \sin^2 \varphi}}, \quad (23)$$

粒子的振动周期  $T$  则可用  $K(k)$  严格表示为

$$T = \frac{4}{\sqrt{\delta}} K(k) = \frac{4}{\sqrt{\delta}} \int_0^{\pi/2} \frac{d\varphi}{\sqrt{1-k^2 \sin^2 \varphi}} \quad (24)$$

从式(18)和(24)可以看出, 粒子振动周期是振幅  $\xi_m$  的函数, 这正反映了系统的非线性特征。

### 三、参数选择

原则上正弦平方势中的两个参数可由实验确定, 下面即可看到真正独立的参数只有一个  $\eta$ , 而  $\alpha$  在本模型中则是完全确定的。虽然参数  $\eta$  可由实验确定, 但我们不打算这样做。下面就直接从物理考虑出发, 拟合常用的 Lindhard 势或 Molier 势来确定它。

#### (1) $\alpha$ 的确定

由式(15)可以看出, 在相平面  $[\xi, V_{\perp}]$  上, 系统存在  $n$  个稳定的中心型奇点

$$V_{\perp} = 0, \quad \xi = 2n\pi \quad (n=0, \pm 1, \pm 2, \dots), \quad (25)$$

和  $n$  个不稳定的鞍点型奇点(如图 2(b) 所示)

$$V_{\perp} = 0, \quad \xi = (2n+1)\pi \quad (n=0, \pm 1, \pm 2, \dots), \quad (26)$$

由式(12), 上式可化为

$$Y = 0, \quad X = \frac{(2n+1)\pi}{2\alpha} \quad (n=0, \pm 1, \pm 2, \dots) \quad (27)$$

从物理考虑出发, 当  $X = 2n+1$  时, 表示的是一系列彼此平行的晶面, 在这些地方, 粒子的运动是不稳定的, 这正好对应于系统的一组鞍点; 注意到这一点, 由式(27)直接可得

$$\alpha = \pi/2 \quad (27)$$

#### (2) $\beta$ 的确定

我们试图拟合常用的 Lindhard 势或 Molier 势, 定出唯象参数  $\beta$ 。现以 Lindhard 势为例。当粒子振幅  $\xi_m = 0$  时, 要求正弦平方势给出的振动周期与 Lindhard 势给出的结果相等, 即

$$T_s(0) = T_L(0) \quad (28)$$

其中

$$T_s(0) = \frac{4}{\sqrt{\delta}} K(0) \quad (29)$$

$$T_L(0) = \frac{4\pi}{\epsilon} [2W_L''(0)]^{-1/2} \quad (30)$$

由式(12)、(28~30)可得

$$\eta = \frac{2K^2(0)W_L''(0)}{\alpha^2 \pi^2}, \quad (31)$$

其中  $\alpha$  由式(27)给出。上式表明, 参数  $\eta$  只与无量纲的晶体参数  $D$  有关。

### 四、辐射强度

沟道粒子的辐射强度与它的轨道特征有关, 下面我们分两种情况讨论。

#### 1. 瞬时辐射强度

对于超相对论带电粒子, 它的瞬时辐射强度  $I_{in}(t)$  可表示为<sup>[7]</sup>

$$I_{in}(t) = \frac{2(z_1 e)^4 \epsilon^2 \gamma^2}{3m^2 c^3} \quad (32)$$

$$r = \frac{1}{\sqrt{1-\beta^2}}, \quad \beta = \frac{v}{c} \quad (33)$$

其中  $\epsilon$  是横向电场强度,  $z_1 e \epsilon$  是作用在沟道

粒子上的力，它的大小与粒子的轨道特征有关，因而与运动方程的解有关。根据定义可将它表示为

$$z_1 e \mathcal{E} = - \frac{\partial V(x)}{\partial x} \quad (34)$$

其中  $V(x)$  是粒子-晶体相互作用势。由式(10)和(5)可将上式化为

$$z_1 e \mathcal{E} = -2A\alpha\eta \sin \alpha X \cos \alpha z \quad (35)$$

其中  $A = K/d_p$ ，而  $X$  是无量纲的横向位移，且由式(3)给出。将式(33)代入式(32)，并注意式(13)，可进一步将瞬时强度(32)用 Jacobi 椭圆函数表示为

$$I_{in}(t) = I_0 k^2 S n^2(p t) d n^2(p t) \quad (36)$$

其中

$$p = \frac{2\sqrt{\delta} V_{\perp}}{d_p}, I_0 = \frac{8(z_1 e)^2 A^2 \alpha^2 \eta^2 r^2}{3m^2 c^3} \quad (37)$$

而  $k$  由式(18)给出。从式(35)可以看出， $z_1 e \mathcal{E}$  (即瞬时辐射强度  $I_{in}(t)$ ) 与运动方程(4)的解直接有关，可见只要求出运动方程(4)的解，则瞬时辐射强度就完全确定。事实表明，引入归一化的正弦平方势(10)以后，库马霍夫辐射的瞬时辐射强度(36)则可用 Jacobi 椭圆函数严格地表示出来。

## 2. 平均辐射强度

瞬时辐射强度描述了带电粒子辐射的瞬态特征，而实验上的可观测量却是平均辐射强度；平均辐射强度  $I$  定义为瞬时辐射强度在一个周期内的平均值，即

$$I = \frac{1}{T_0} \int_0^{T_0} I_{in}(t) dt \quad (38)$$

将式(36)代入上式，完成积分后可得

$$I = \frac{I_0}{3} k'^2 \quad (39)$$

其中

$$k' = \sqrt{1 - k^2} \quad (40)$$

称为 Jacobi 椭圆函数的补模。从式(39)、(40)和(18)可以看出，库马霍夫辐射的平均强度与粒子的运动振幅有关。考虑到晶体内部的电场强度可高达  $10^{11} \sim 10^{12}$  电子伏/厘米，

库马霍夫的平均强度比现有的电子同步加速器高 6~9 个量级。

## 五、辐射谱特征

在超相对论情况下，库马霍夫辐射分布角宽  $\Delta\theta$  可近似地表示为<sup>[7]</sup>

$$\Delta\theta = r^{-1} \quad (41)$$

要了解库马霍夫辐射的谱分布，有必要知道辐射角宽  $\Delta\theta$  与粒子在沟道中的最大偏转角  $\psi$  之间的关系。 $\psi$  定义为粒子的横向动量与纵向动量之比，即

$$\psi = \left\{ \left| \frac{dx}{dt} \right| / c \right\}_{\max} \quad (42)$$

由正弦平方势(10)可直接求出

$$\psi = \left( \frac{A d_p \eta}{m c^2 r} \right)^{\frac{1}{2}} \quad (43)$$

定义  $\zeta = \psi / \Delta\theta$ ，由式(41)、(42)可得：

$$\zeta = \frac{\psi}{\Delta\theta} = \left( \frac{A d_p \eta r}{m c^2} \right)^{\frac{1}{2}} \quad (44)$$

下面就两种情况进行讨论。

### (1) $\zeta \gg 1$

当  $\zeta \gg 1$  时，粒子在沟道内的偏转角  $\psi$  比  $\Delta\theta$  大得多，这时我们可以认为某个方向上的辐射，主要是与这个方向平行的那部分轨道贡献的。在超相对论情况下，对向前辐射有贡献的那部分轨道大多位于  $dx/ds = 0$  附近，我们假设粒子在这部分轨道上所经受的外场是不变的，则情况与同步辐射完全类似。由[7]可知，大部分辐射都集中在频率

$$\omega_1 \approx \left| \frac{\partial V(x)}{\partial x} \right|_{\max} (mc)^{-1} r^2 \quad (45)$$

附近，由式(10)和上式可得

$$\omega_1 \approx \frac{2A\alpha r k k' r^2}{mc} \quad (46)$$

其中  $k'$  由式(40)给出。

### (2) $\zeta \ll 1$

当  $\zeta \ll 1$  时，粒子在沟道中的偏转角  $\psi$  比  $\Delta\theta$  小得多，整个轨道上的辐射都集中在粒子运动方向上。换句话说，在  $\Delta\theta$  内任何一点的

辐射强度,几乎整个轨道都有贡献,由[7]可知,辐射的主要部分都集中在频率

$$\omega_2 \approx \frac{v_{\perp} r^2}{x_m} \quad (47)$$

附近,其中  $x_m$  是粒子的最大横向位移,  $x_m/v_{\perp}$  表示粒子到达最大横向位移所需要的时间,且近似地有

$$x_m/v_{\perp} = T_0/4 \quad (48)$$

其中

$$T_0 = \frac{d_p T}{2v} = \frac{2d_p K}{c\sqrt{\delta}} \quad (49)$$

是以“时间”为单位的粒子振动周期,将式(49)代入式(47),可得

$$\omega_2 = \frac{2\sqrt{\delta} cr^2}{d_p K(k)} \quad (50)$$

其中  $K(k)$  由式(23)给出。

## 六、应用

我们以正电子为例,具体分析一下它在晶体沟道中的库马霍夫辐射强度和最大频率。选择与晶体有关的参数  $z_2=6$ ,  $N=1.1 \times 10^{23}$  厘米<sup>-3</sup>,  $d_p=3.57 \times 10^{-8}$  厘米;与入射粒子有关的参数  $z_1=1$ ,  $k=\sin \frac{\xi_m}{2} = \frac{1}{2}$ , 由此可求得  $A = \frac{2K}{d_p} = 3.04 \times 10^{-2}$  尔格/厘米。

由第3节描述的方法可定出唯象参数  $\eta=0.14$ 。对于不同能量的正电子,由式(39)、(45)、(47)和式(44)可分别求得库马霍夫辐射的平均强度  $I$ , 最大辐射频率  $\omega_1$ 、 $\omega_2$  以及无量纲的偏转角  $\zeta$ , 如表1所示。

表1 正电子的平均辐射强度和最大辐射频率

$r$	$\omega_1$ (秒 <sup>-1</sup> )	$\omega_2$ (秒 <sup>-1</sup> )	$I$ (兆电子伏/秒)	$\zeta$
$10^2$	$2.4 \times 10^{18}$	$1.6 \times 10^{19}$	$7.9 \times 10^8$	0.14
$10^3$	$2.4 \times 10^{20}$	$4.8 \times 10^{20}$	$7.9 \times 10^{10}$	0.46
$10^4$	$2.4 \times 10^{22}$	$1.6 \times 10^{23}$	$7.9 \times 10^{12}$	1.44
$4 \times 10^4$	$3.8 \times 10^{23}$	$1.3 \times 10^{23}$	$1.3 \times 10^{14}$	2.88

对于能量为50兆电子伏的正电子,它的相对论因子  $r$  大约为  $10^2$ , 由表1可以看出,相应的  $\omega_1=2.4 \times 10^{18}$  赫;根据公式  $\varepsilon=h\omega$  ( $h$  是普朗克常数)可求得库马霍夫辐射的能量  $\varepsilon$  为10千电子伏,显然这个能量已进入  $r$  能区。

本文从唯象分析出发,提出了归一化的正弦平方势,并解析地处理了带电粒子的库马霍夫辐射的辐射强度和光谱特征,其结果同[3]符合得很好。

## 参考文献

- [1] Kumakhov M. A.; *Phys. Lett.*, 1976, **57A**, No. 1, 17.
- [2] Кумахов М. А.; *ЖЭТФ*, 1977, **72**, № 4, 1489.
- [3] Kheifets S., Knight T.; *J. Appl. Phys.*, 1979, **50**, No. 9, 5937.
- [4] 罗诗裕;《物理》; 1983, **12**, No. 1, 6.
- [5] Ellison J. A.; *Phys. Rev. B*, 1978, **18**, No. 11, 5948.
- [6] Byrd P. E. et al.; *Handbook of Elliptic Integrals for Engineers and Scientists*, Springer-Verlag, Berlin, 1971.
- [7] Landau L. D., Lifshits E. M.; *The Classical Theory of Fields*, Pergamon Press, Oxford, 1975.